

合成樹脂接着継手の強度に関する2, 3の研究

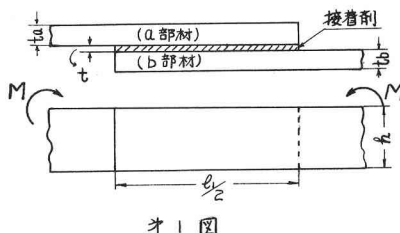
慶應大学工学部	正員	工博	見澤繁光
慶應大学工学部	正員	工博	安山信雄
慶應大学工学部	正員		○日笠隆司
慶應大学工学部	学正員		山出 覚

§ 1. まえがき

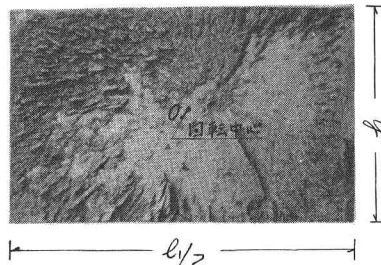
最近エポキシ樹脂接着剤のような高分子材料が、土木施工に広く応用されようになつて来た。木材、コンクリートの接着についての接着力が大きい為、接着層は破壊しないで、木材、コンクリートが破壊する。しかし、金属の接着については、まだ金属の強度に比較して接着剤の強度が小さいので、接着層が破壊する。この金属接着について接着層内の応力分布状態を知る事がより重要となる。この研究では、オイコロジーの如き金属接着継手の接着層面の方向にモーメントが作用した場合の接着層内の応力解析の1つの解法を示し、実験値と比較した。

§ 2. 理論的考察

オイコロジーに示すa・b部材の弾性変形を無視すれば、接着層内の剪断応力は溶接、リベットに用ひられる計算式が適用出来る。しかし、この弾性変形を無視出来ない場合がしばしば生じる。特に接着長さl/aが接着高さhに比べ、大きくなればなるほどa・b部材の弾性変形が剪断応力に影響するため、a・b部材を剛体と仮定する事に誤りを生じる。これが、接着長さl/aが長くなると、弾性変形によるa・b部材の相互変位が大きくなり、従って弾性変形によって生ずる剪断応力が大きくなると推察される。なお、実験によつてはこの様な現象が推察される。それが示したもののがオイコロジーである。これは接着層の破壊状態の一例である。



オイコロジー



オイコロジー

オイコロジーを観察すると、点Oを中心にしてa・b部材が回転した様子が見受けられる。これは l/h が比較的大きい値のときか、或いは l/h が小さい場合に見られる現象である。又、この様なときはa・b部材を剛体と仮定した溶接の理論より求めた剪断応力が比較的に適用出来る。 l/h が大きくなるにつれて、オイコロジーの如き現象はなくなり、溶接の理論を適用出来なくなる。

上述の結果より、剪断応力は回転中心からの距離に比例するものと、a・b部材の弾性変形、即ち曲げモーメントによって生じるa・b部材の相互変位に比例する剪断応力の合成で表わされる。ここで問題となるのが接着にともなう相互変位を如何に算定するかという事である。これを知るために

は接着部内の a・b 部材に働くモーメント分布を明らかにしなければならぬ。ここでは次の如き考え方でモーメント分布を求め、剪断応力を算出する。

(1)剛体と仮定した場合に生ずる剪断応力より、接着長さ l 内の a・b 部材に働くモーメントを求める。(2)このモーメントの n 倍が a・b 部材に作用し、その相互変位によつて生じたモーメント ΔM を求めめる。(3) $M = \alpha M + \Delta M$ より M を求めめる。(4) α を知る事によつて、回転変位による剪断応力と、挿みの相互変位による剪断応力を求めめる。(5) 2つの剪断応力の合成が任意の位置における剪断応力を求める。

(1)～(5)の計算を進めるにあたつて接着面上に示す図の如き座標をとる。

a・b 部材に働くモーメントを M_a , M_b とすれば

$$M_a = \frac{\alpha M h}{192 I_p} \left\{ 32x^2 - 2(3l^2 + 8h^2)x + l^2 + 4h^2 l_1 \right\} \quad (1)$$

$$M_b = \frac{\alpha M h}{192 I_p} \left\{ -32x^2 + 2(3l^2 + 8h^2)x + l^2 + 4h^2 l_1 \right\} \quad (2)$$

(以下記号は末尾を参照)

a・b 部材の挿み量を各々 $f_a(x)$, $f_b(x)$ とし、相互変位量 $f(x) = f_a(x) - f_b(x)$ とすれば、モールの定理より。

$$f(x) = \frac{\alpha M b}{192 E I_a I_p} \left\{ -\frac{8}{5}(n+1)x^5 + \frac{1}{3}(n+1)(3l^2 + 8h^2)x^3 + \frac{1}{2}(n-1)(l^2 + 4h^2 l_1)x^2 + \alpha x + C_1 \right\} \quad (3)$$

(C_1 , C_2 積分定数)

(1), (2)式は y 軸に関して対称な事より

$$\frac{df_b(\frac{x}{2})}{dx} + \frac{df_a(-\frac{x}{2})}{dx} = 0 \quad (4)$$

$$(4) 式より \quad C_1 = -(n+1) \left(\frac{13}{2} l^4 + \frac{3}{2} h^2 l^2 \right) \quad (5)$$

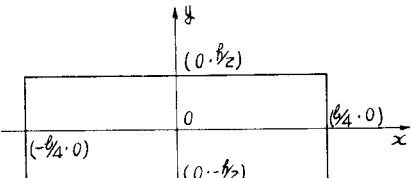
(3)式の相互変位 $f(x)$ によつて生じる接着層内の剪断歪みは接着厚さ t により、 $\gamma = \frac{f(x)}{t}$ となる。よつて相互変位 $f(x)$ による剪断応力では $T_e = \frac{f(x)}{t}$ がとなる。この T_e によつて a・b 部材に生じる曲げモーメン

$$Mae = \frac{\alpha M a h^2}{192 E I_a I_p t} \left[\frac{4}{105}(n+1)x^7 - \frac{(n+1)}{60}(3l^2 + 8h^2)x^5 - \frac{(n-1)}{24}(l^2 + 4h^2 l_1)x^4 + \frac{(n+1)}{6} \left(\frac{13}{32}l^2 + \frac{3}{2}h^2 \right) l^2 x^3 - \frac{1}{2}C_2 x^2 - \left\{ (n+1) \left(\frac{181}{3 \times 5 \times 2^{10}} l^6 + \frac{17}{3 \times 2^7} h^2 l^4 \right) + (n-1) \left(-\frac{l^6}{2^9 \times 3} - \frac{h^2 l^4}{2^8 \times 3} \right) - C_2 \left(\frac{l^4}{2^8} \right) \right\} x - \left\{ (n+1) \left(\frac{-13}{7 \times 5 \times 3 \times 2^6} l^7 - \frac{7}{3 \times 5 \times 2^5} h^2 l^5 \right) + \frac{l^4}{2^6} (n-1) (l^2 + 4h^2 l_1) + \frac{1}{2} C_2 \left(\frac{l^2}{2^8} \right)^2 \right\} \right] \quad (6)$$

$$Mbe = \frac{\alpha M b h^2}{192 E I_a I_p t} \left[-\frac{4}{105}(n+1)x^7 + \frac{n+1}{60}(3l^2 + 8h^2)x^5 + \frac{n-1}{24}(l^2 + 4h^2 l_1)x^4 - \frac{n+1}{6} \left(\frac{13}{32}l^2 + \frac{3}{2}h^2 \right) l^2 x^3 + \frac{1}{2}C_2 x^2 - \left\{ (n+1) \left(-\frac{181}{3 \times 5 \times 2^{10}} l^6 - \frac{17}{3 \times 2^7} h^2 l^4 \right) - \frac{(n-1)}{2^9 \times 3} (l^2 + 4h^2 l_1) l^3 - \frac{1}{2} C_2 l^4 \right\} x - \left\{ (n+1) \left(-\frac{13}{3 \times 5 \times 7 \times 2^6} l^7 - \frac{7}{2^6 \times 3 \times 5} h^2 l^5 \right) - \frac{(n-1)}{2^8} (l^2 + 4h^2 l_1) l^4 - \frac{1}{2} C_2 l^2 \right\} \right] \quad (7)$$

(1), (2)式より $M_a + M_b = -$ 定である事より $Mae + Mbe$ は変数 x にいかわらず一定でなければならぬ。

故に (6), (7)式より $C_2 = -\frac{1}{96}(n-1)(l^2 + 4h^2 l_1)l_1^2 \quad (8)$



第3 図

$$M_a + M_{ae} + M_b + M_{be} = M \text{ より, } \alpha \text{ を求めると}$$

$$\alpha = \frac{1}{1+\beta} \quad (9) \quad \left[\text{但し, } \beta = \frac{(n+1)}{192E} \frac{G h^2 l_1^5}{I_a I_p t} \left\{ \frac{13}{3360} l_1^2 + \frac{7}{480} h^2 \right\} \right]$$

(9)式より、 α の値を求め、回転変位による剪断応力及び弾性変形によって生じる剪断応力でも求めると、合成剪断応力では

$$\gamma = \sqrt{\left(\frac{f(x)}{t}\cdot G\right)^2 + \left(\frac{\alpha M}{t_p} \sqrt{x^2+y^2}\right)^2 - 2 \left(\frac{f(x)}{t}\cdot G\right) \left(\frac{\alpha M}{t_p} \sqrt{x^2+y^2}\right) \cos \theta} \quad (10)$$

なお、最大剪断応力の作用する点は $(-\frac{l_1}{4}, \frac{h}{2})$ 、あるいは $(\frac{l_1}{4}, \frac{h}{2})$ である。 (10) 式の値がどの程度適合しているかを検討するためには実験的に接着長さ l_1 内の各断面に働く曲げモーメントとストレインゲージにより求め、(1), (6), (2), (7)式より、 a 材に働く曲げモーメント $M_a + M_{ae}$ 、 b 材に働く曲げモーメント $M_b + M_{be}$ を算出し、その計算値と比較した。

§3 実験結果

図4にモーメント測定の各断面位置を示し、この触手について算出したモーメントの理論値と実験より測定した実験値とを図4に表わし比較した。

§4 結び

前述の理論的的前提より求めたモーメント分布曲線が、実験値とほぼ一致しているので、これより理論的に求めた剪断応力は、実存に近い状態を示すものと思われる。

記号の説明

- | | |
|--|--|
| M : 外力モーメント. | G : 接着剤の剪断弾性係数. |
| l_1 : 接着長さ. | E : a, b 部材の弾性係数. |
| h : 接着高さ. | I_a : a 部材の断面二次モーメント. |
| t : 接着厚さ. | I_b : b 部材の断面二次モーメント. |
| n : I_a/I_b . | M_{ae} : $f(x)$ によって生じる a 材のモーメント. |
| I_p : $\frac{1}{96}(l_1^3 + 4h^2)4h$. | M_{be} : $f(x)$ によって生じる b 材のモーメント. |
| t_a : a 部材の厚さ. | γ_e : 回転変位による剪断応力. |
| t_b : b 部材の厚さ. | θ_e : $f(x)$ によって生じる剪断応力. |
| θ : γ_e, θ_e のなす角度. | |

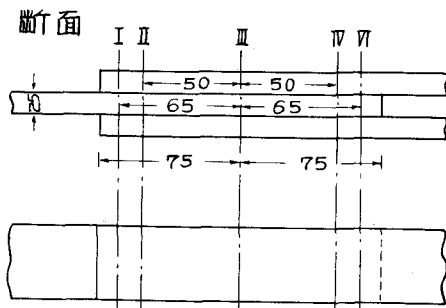


図4 図

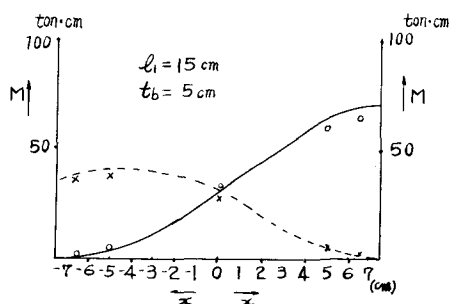
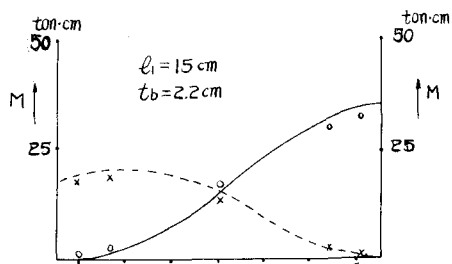


図5 図

参考文献

- 1) 吉町太郎一 鋼橋の理論と計算 P.260～P.262.